

УДК 536.46 : 546.261

© 1990

ФАЗОВЫЕ ДИАГРАММЫ УПОРЯДОЧИВАЮЩИХСЯ СИСТЕМ В МЕТОДЕ ФУНКЦИОНАЛА ПАРАМЕТРОВ ПОРЯДКА

A. И. Гусев

Рассмотрено применение ранее предложенного метода функционала параметров порядка для описания фазовых равновесий в упорядочивающихся твердых растворах замещения A_yB_{1-y} и нестехиометрических соединениях внедрения MX_y . Получены уравнения для расчета температурно-концентрационных областей существования неупорядоченной и упорядоченных фаз. Впервые с учетом упорядочения рассчитаны фазовые диаграммы систем $Zr-C$, $Nb-C$ и $Ta-C$, установлены типы возможных упорядоченных фаз нестехиометрических карбидов. Показана невозможность образования кубических сверхструктур типа M_5X_7 и M_4X_3 в нестехиометрических соединениях MX_y .

Одной из основных задач статистической теории атомного упорядочения является построение термодинамики системы многих взаимодействующих частиц. В модели среднего поля и ее различных вариантах эта задача в той или иной мере решается путем замены отдельных межатомных взаимодействий взаимодействием, усредненным по всем атомам. В кластерных методах улучшение результатов приближения среднего поля достигается благодаря применению к кластеру тех же рассуждений, что и к одному узлу решетки, занятому атомом определенного сорта. В результате локальные взаимодействия и корреляции учитываются с помощью рассмотрения компактной группы атомов, находящихся в среде, свойства которой соответствуют среднему макроскопическому состоянию вещества. Иначе говоря, взаимодействия частиц внутри кластера учитываются точно, а взаимодействия между кластерами — приближенно, с помощью некоторого эффективного поля.

В работах [1-4] для описания структурных фазовых переходов беспорядок—порядок в твердых растворах замещения A_yB_{1-y} и в нестехиометрических соединениях типа фаз внедрения $MX_y\Box_{1-y}$, где раствор замещения образуют неметаллические атомы внедрения X и структурные вакансии \square (незанятые узлы неметаллической подрешетки), был предложен метод функционала параметров порядка (МФПП). Физической основой МФПП является приближение среднего поля, а по своему формализму он относится к группе кластерных методов, но отличается от них возможностью детального учета симметрии кристалла с любой степенью дальнего порядка. Главной особенностью этого метода является представление различных фигур (кластеров) через значения функции распределения $n(\mathbf{r})$, непосредственно зависящей от параметров дальнего порядка τ . Сама функция распределения $n(\mathbf{r})$ атомов заданного сорта является вероятностью нахождения атома этого сорта на узле \mathbf{r} упорядочивающейся решетки. Применение МФПП позволило не только качественно, но и количественно описать фазовые переходы первого и второго рода типа беспорядок—порядок в некоторых соединениях внедрения, определить термодинамически равновесные типы сверхструктур в них [3-5].

В настоящей работе рассмотрено дальнейшее развитие метода функционала параметров порядка с целью расчета фазовых диаграмм упорядо-

дочижающихся систем. Построение равновесных фазовых диаграмм имеет не только теоретическое, но и важное практическое значение, поскольку позволяет найти температурно-концентрационные области существования различных упорядоченных и неупорядоченной фаз, весьма заметно отличающихся как структурой, так и физическими свойствами [3, 6].

1. Свободная энергия и условия равновесия

В МФПП свободная энергия кристалла с любой степенью порядка описывается формулой [3, 4]

$$F = N \left| \frac{1}{\Phi} \sum_s \frac{y^{(s)}}{x^{(s)}} \sum_{i \in s} \left[\varepsilon_i^{(s)}(T) - T \int_0^T \frac{d\varepsilon_i^{(s)}(T)}{T} \right] \times \right. \\ \left. \times \sum_{\varphi=1}^{x(s)} \sum_{f=1}^M g_f \sum_{k=1}^{x(s)} \prod_{v=x}^s \prod_{l_v=0}^{J_v^{(s)}} n_v(r_{\varphi f}^{(s)} + r_{\varphi f k l_v}^{(s)}) + k_B T \sum_r \sum_{v=x}^s n_v(r) \ln n_v(r) \right\}, \quad (1)$$

причем значения, принимаемые функцией распределения $n_v(r)$ атомов сорта v на различных узлах r решетки, в которой происходит упорядочение, выражаются непосредственно через параметры дальнего порядка η , являющиеся переменными при минимизации свободной энергии F . Параметрами описания являются энергии $\varepsilon_i^{(s)}(T)$ кластеров, которые могут быть заданы как параметры модели или рассчитаны из каких-либо независимых предпосылок.

Рассмотрим упорядочение в бинарном твердом растворе замещения $A_y B_{1-y}$ или в нестехиометрическом соединении $MX_y \square_{1-y}$, т. е. упорядочение в двухкомпонентной системе А—В или Х—□. Будем полагать, что в результате перехода беспорядок—порядок в этих системах возможно образование упорядоченных фаз типа $A_{2t-1}B$ или $M_{2t}X_{2t-1}\square$, где $t=1, 1.5, 2, 3, 4$. Обозначим свободные энергии неупорядоченной фазы $A_y B_{1-y}$ (MX_y) и упорядоченной фазы $A_{2t-1}B$ ($M_{2t}X_{2t-1}\square$) как $F(y, 0, T)$ и $F(y, \eta, T)$ соответственно. Если зависимость энталпии образования неупорядоченного кристалла ($\eta=0$) от его состава $H^{\text{disord}}(y, T)$ представить в виде разложения в степенной ряд по величине y

$$H^{\text{disord}}(y, T) = N \sum_{n=0}^{R^{(s)}} y^n H_n(T), \quad (2)$$

то, как показано в [2], энергии $\varepsilon_i^{(s)}$ кластеров можно выразить через коэффициенты H_n разложения (2), в результате чего выражение (1) для свободной энергии F кристалла с любой степенью порядка (от $\eta=0$ до $\eta=\eta_{\max}(y)$) в МФПП преобразуется

$$F = N \left\{ \sum_s x^{(s)} y^{(s)} \left[F_0(T) + y F_1(T) + \sum_{n=2}^{R^{(s)}} P_0^{(n)} F_n(T) \right] - T S_e \right\}. \quad (3)$$

Здесь s — тип фигуры (кластера), входящий в последовательность особых фигур $\{s\}$, необходимую для описания упорядочения в рассматриваемом кристалле с помощью МФПП; $y^{(s)}$ — коэффициент переоценки, учитывающий перекрывание фигур s в решетке кристалла; $x^{(s)}$ — коэффициент, устанавливающий связь между энталпиией кристалла и энергией всех фигур данного типа s с различными конфигурациями; $R^{(s)}$ — число узлов упорядочивающейся решетки, входящих в фигуру типа s ; $P_0^{(n)}$ — вероятность комплектной n -подфигуры (n -подфигура образована n узлами фигуры s ($n < R^{(s)}$), причем все узлы n -подфигуры заняты атомами сорта А (для твердого раствора $A_y B_{1-y}$) или Х (для нестехиометрического соединения MX_y)); S_e — конфигурационная энтропия. В формуле (3) вероятность $P_0^{(n)}$ является функцией от y и η ; таким образом, при заданных y

и T переменной является η , а параметрами модели — величины $F_0(T)$, $F_1(T) \dots F_n(T)$.

Как показал выполненный в [3] анализ имеющихся в литературе экспериментальных данных, в реальных бинарных упорядочивающихся системах разложение $H^{\text{disord}}(y, T)$ в ряд (2) ограничено членами второго порядка по величине y ; с учетом этого и значений $x^{(s)}$ и $y^{(s)}$ выражение для свободной энергии приобретает форму [3, 4]

$$F = F_0(T) + yF_1(T) + P_0^{(2)}F_2(T) - TS_c, \quad (4)$$

где

$$P_0^{(2)} = y^2 - a\eta^2/4t^2, \quad (5)$$

$$S_c = -(k_B/2t) \{ n_1 \ln n_1 + (1 - n_1) \ln (1 - n_1) + (2t - 1) [n_2 \ln n_2 + (1 - n_2) \ln (1 - n_2)] \}. \quad (6)$$

Коэффициент a в формуле (5) зависит от типа и структуры образующейся упорядоченной фазы. В формуле (6) $n_{1,2}$ — значения функции распределения $n_A(r)$ на узлах подрешеток В и А соответственно (вероятности обнаружения атома сорта А на узле подрешетки атомов сорта В или на узле подрешетки атомов сорта А соответственно (в случае нестехиометрического соединения MX_y , величины n_1 и n_2 — вероятности обнаружения атома внедрения X на узле вакансационной подрешетки или на узле подрешетки атомов внедрения соответственно)). Вероятности n_1 и n_2 в соответствии с [3, 4] равны

$$n_1 = y - (2t - 1)\eta/2t, \quad n_2 = y + \eta/2t. \quad (7)$$

Легко видеть, что при $\eta=0$ выражение (4) с учетом формул (5) и (6) преобразуется к виду

$$F(y, 0, T) = F_0(T) + yF_1(T) + y^2F_2(T) + k_B T [y \ln y + (1 - y) \ln (1 - y)], \quad (8)$$

описывающему только неупорядоченное состояние кристалла. Отсюда ясно, что величины $F_0(T)$, $F_1(T)$ и $F_2(T)$, являющиеся параметрами описания в МФПП, могут быть найдены при разложении свободной энергии неупорядоченного кристалла (без учета конфигурационной энтропии) в ряд по y . При анализе упорядочения в реальных системах это дает возможность описывать любое структурное состояние кристалла, если известны основные термодинамические характеристики только неупорядоченного состояния кристалла, такие как зависимость энталпии образования от состава неупорядоченного соединения и температурная зависимость энталпии или теплоемкости.

Условия равновесия неупорядоченной и упорядоченной фаз выполняются в случае равенства химических потенциалов $\mu_n^{(L)}$ каждого компонента в этих фазах (верхний индекс относится к компоненту, нижний — к фазе), т. е.

$$\mu_1^{(A)} = \mu_2^{(A)}, \quad \mu_1^{(B)} = \mu_2^{(B)}, \quad (9)$$

где химические потенциалы $\mu^{(A)}$ и $\mu^{(B)}$ выражаются через свободную энергию соответствующей фазы

$$\mu^{(A)} = F(y, T) + (1 - y) \partial F(y, T) / \partial y, \quad \mu^{(B)} = F(y, T) - y \partial F(y, T) / \partial y. \quad (10)$$

С учетом (9), (10) систему уравнений, описывающих равновесие неупорядоченной и упорядоченной фаз со свободными энергиями $F(y, 0, T)$ и $F(y, \eta, T)$ соответственно, можно записать в следующей форме:

$$\begin{aligned} \partial F(y_1, 0, T) / \partial y_1 &= \partial F(y_2, \eta, T) / \partial y_2, \\ F(y_1, 0, T) - y_1 \partial F(y_1, 0, T) / \partial y_1 &= F(y_2, \eta, T) - y_2 \partial F(y_2, \eta, T) / \partial y_2, \end{aligned} \quad (11)$$

$y_{1,2}$ — относительное содержание компонента А (Х) в неупорядоченной и упорядоченной фазах соответственно.

После преобразований системы уравнений (11) с учетом (4)–(8) получим условия равновесия неупорядоченной фазы $A_y B_{1-y} (MX_y)$ и упорядоченной фазы типа $A_{2t-1}B (M_{2t}X_{2t-1})$

$$\begin{aligned} y_1(2-y_1) + (k_B T / F_2(T)) \ln y_1 &= y_2(2-y_2) + (a/4t^2) \eta_{\text{равн}}^2 + \\ &+ (1/2t) (k_B T / F_2(T)) [\ln n_1 + (2t-1) \ln n_2] |_{\eta=\eta_{\text{равн}}}, \\ y_1^2 - (k_B T / F_2(T)) \ln (1-y_1) &= y_2^2 - (a/4t^2) \eta_{\text{равн}}^2 - \\ &- (1/2t) (k_B T / F_2(T)) [\ln (1-n_1) + (2t-1) \ln (1-n_2)] |_{\eta=\eta_{\text{равн}}}. \end{aligned} \quad (12)$$

Аналогично можно получить систему уравнений, описывающую равновесие двух упорядоченных фаз $A_{2t_i-1}B (M_{2t_i}X_{2t_i-1})$ и $A_{2t_{i-1}-1}B (M_{2t_{i-1}}X_{2t_{i-1}-1})$ (или в общем виде $A_{2t_i-1}B (M_{2t_i}X_{2t_i-1})$, где i равно 1 или 2)

$$\begin{aligned} \sum_{i=1}^2 (-1)^i \{y_i(2-y_i) + (a_i/4t_i^2) \eta_i^2_{\text{равн}} + (1/2t_i) (k_B T / F_2(T)) [\ln n_1^{(i)} + \\ + (2t_i-1) \ln n_2^{(i)}]\} |_{\eta=\eta_{\text{равн}}} = 0, \\ \sum_{i=1}^2 (-1)^i \{y_i^2 - (a_i/4t_i^2) \eta_i^2_{\text{равн}} - (1/2t_i) (k_B T / F_2(T)) [\ln (1-n_1^{(i)}) + \\ + (2t_i-1) \ln (1-n_2^{(i)})]\} |_{\eta=\eta_{\text{равн}}} = 0, \end{aligned} \quad (13)$$

$y_i, a_i, t_i, \eta_i, n_1^{(i)}$ — соответствующие величины для упорядоченной фазы $A_{2t_i-1}B (M_{2t_i}X_{2t_i-1})$.

Решение систем уравнений (12), (13), записанных для всех возможных бинарных равновесий, позволяет рассчитать положение фазовых границ и построить равновесную фазовую диаграмму. Основная вычислительная трудность при проведении расчета связана с необходимостью постоянного определения равновесной для заданных y и T величины параметра дальнего порядка. Используя найденные в [3, 4] уравнения, описывающие равновесные условия перехода беспорядок—порядок, можно получить следующую формулу для вычисления:

$$(1/\eta_{\text{равн}}) \ln [n_2(1-n_1)/n_1(1-n_2)] |_{\eta=\eta_{\text{равн}}} = [2a/(2t-1)] F_2(T)/k_B T. \quad (14)$$

Как видно из уравнения (14), равновесное значение параметра дальнего порядка $\eta_{\text{равн}}$ является функцией не только от y и T , но и от энергетического параметра $F_2(T)$, т. е. зависит от природы твердого раствора или нестехиометрического соединения, в которых происходит упорядочение.

Температуру перехода беспорядок—порядок, происходящего по механизму фазового перехода первого рода, можно найти по формуле

$$T_{\text{неп}} = [2a/(2t-1)] (F_2(T_{\text{неп}})/k_B) \eta_{\text{неп}} \{ \ln [n_2(1-n_1)/n_1(1-n_2)] \}_{\eta=\eta_{\text{неп}}}^{-1}. \quad (15)$$

В случае фазовых переходов второго рода, когда параметр дальнего порядка плавно изменяется от $\eta=0$ до $\eta=\eta_{\text{равн}}$ при $T < T_{\text{неп}}$, формула (15) для температуры перехода преобразуется к виду

$$T_{\text{неп}} = [2a/(2t-1)] y(1-y) F_2(T_{\text{неп}})/k_B. \quad (16)$$

2. Фазовые диаграммы

Рассмотрим практическое применение метода функционала параметров порядка для расчета фазовых диаграмм упорядочивающихся систем на примере нестехиометрических соединений переходных металлов IV и V групп. Многочисленные структурные исследования, результаты которых обобщены в [3], показывают, что переходы беспорядок—порядок широко распространены в нестехиометрических карбидах, нитридах и оксидах. Согласно [3, 4, 6–9], в нестехиометрических соединениях MX_y с базисной структурой $B1$ (NaCl) в принципе возможно образование сверхструктур

Тип упорядоченной фазы	Пространственная группа	a	t	$2a/(2t-1)$
M_2X	$R\bar{3}m, Fd\bar{3}m, I4_1/amd$	0.2	1	0.4
M_3X_2	Imm	0.4	1.5	0.4
M_3X_2	$P\bar{3}m1$	-0.2	1.5	-0.2
M_4X_3	$Pm\bar{3}m$	0.2	2	0.133
M_6X_5	$C2, C2/m, P3_1$	1.0	3	0.4
M_8X_7	$Fm\bar{3}m, P4_132 (P4_332)$	1.0	4	0.286

типа M_2X , M_3X_2 , M_4X_3 , M_6X_5 и M_8X_7 (значения a и t для этих сверхструктур приведены в таблице). Согласно [2-4], упорядочение бинарной системы, свободная энергия $F(y, 0, T)$ которой описывается выражением (8), возможно лишь в том случае, если $F_2(T) > 0$. Поскольку $T_{\text{пер}}$ всегда положительна, то из формул (15), (16) следует, что в МФПП коэффициент a может быть только положительным. Таким образом, предположение о возможности формирования тригональной ($P\bar{3}m1$) сверхструктуры типа M_3X_2 , для которой $a < 0$, в неупорядоченном соединении MX_y с базисной структурой $B1$ можно сразу отбросить. В связи с этим далее при упоминании упорядоченной фазы M_3X_2 будет иметься в виду только ромбическая (Imm) сверхструктура этого типа.

Первоначально рассмотрим общий вид равновесной фазовой диаграммы упорядочивающегося нестехиометрического соединения MX_y , в котором возможно полное замещение всех неметаллических атомов внедрения X вакансиями, т. е. y изменяется от 0 до 1.

Согласно результатам расчета, образование сверхструктур типа M_2X , M_4X_3 , M_6X_5 и M_8X_7 является фазовым переходом первого рода, тогда как сверхструктура типа M_2X образуется по механизму фазового перехода второго рода. Превращения одной упорядоченной фазы в другую являются переходами первого рода.

Из формул (15), (16) видно, что величина $T_{\text{пер}}$ зависит от коэффициента $2a/(2t-1)$. Для сверхструктур типа M_2X , M_3X_2 (Imm) и M_6X_5 этот коэффициент равен 0.4, а наименьшее положительное значение имеет для сверхструктуры типа M_4X_3 (см. таблицу). Из этого ясно, что для сверхструктур типа M_2X , M_3X_2 и M_6X_5 температуры перехода из неупорядоченного состояния в упорядоченное сравнимы по величине и на равновесной фазовой диаграмме такие сверхструктуры будут устойчивы в близких температурных, но различных концентрационных интервалах. Упорядоченные фазы типа M_8X_7 и особенно M_4X_3 могут быть устойчивы только в низкотемпературной области.

Расчет фазовой диаграммы упорядочивающегося нестехиометрического соединения MX_y ($0 < y < 1$) был выполнен для интервала температур от 300 К до $T_{\text{пер}}$. Для нестехиометрических карбидов и нитридов в этой области температур величина $k_B T/F_2(T)$ является монотонной возрастающей функцией от T , что позволило построить фазовую диаграмму в зависимости от безразмерной приведенной температуры $k_B T/F_2(T)$ (для обсуждаемых нестехиометрических соединений приведенная температура $k_B T/F_2(T)=0.02$ соответствует примерно 300 К).

Из рассчитанной фазовой диаграммы (рис. 1) видно, что при упорядочении нестехиометрического соединения MX_y образуются упорядоченные фазы типа M_2X , M_3X_2 и M_6X_5 . На фазовой диаграмме имеются также три двухфазовые области: $(M_2X+M_3X_2)$, $(M_3X_2+M_6X_5)$ и $(M_6X_5+MX_y)$. Сверхструктуры типа M_8X_7 и M_4X_3 даже в низкотемпературной области (при $k_B T/F_2(T)$, близкой к 0.02) имеют малые величины $\gamma_{\text{таб}}$, а их свободная энергия больше свободной энергии упорядоченных фаз типа M_2X .

M_3X_2 и M_6X_5 ; поэтому в изученном интервале температур упорядоченные фазы типа M_8X_7 и M_4X_3 существовать не могут.

При расчете упорядочения в реальных нестехиометрических соединениях необходимо дополнительно учитывать краевые (граничные) условия равновесия. Например, в системе V—C верхней границей области гомогенности неупорядоченного кубического карбида соответствует $VC_{0.88}$ (для всех других карбидов и нитридов со структурой $B1$ верхней границей области гомогенности является соединение $MX_{1.00}$). Именно по этой причине в карбиде ванадия и только в нем образуется кубическая сверхструктура V_8C_7 ($P4_132$ или $P4_332$). В других карбидах и нитридах образование равновесной кубической сверхструктуры типа M_8X_7 невозможно. Кроме того, в реальных нестехиометрических соединениях полное замещение неметаллических атомов вакансиями невозможно, так как симметрия кристаллической решетки металла отличается от симметрии металла

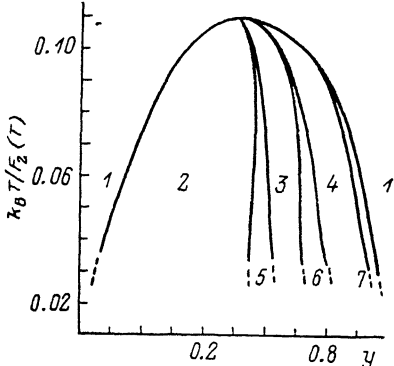


Рис. 1. Равновесная фазовая диаграмма упорядочивающегося нестехиометрического соединения $MX_y\Box_{1-y}$, в котором возможно замещение всех неметаллических атомов внедрения X структурными вакансиями \square : MX_y (1), M_2X (2), M_3X_2 (3), M_6X_5 (4), $M_2X + M_3X_2$ (5), $M_3X_2 + M_6X_5$ (6), $M_6X_5 + MX_y$ (7).

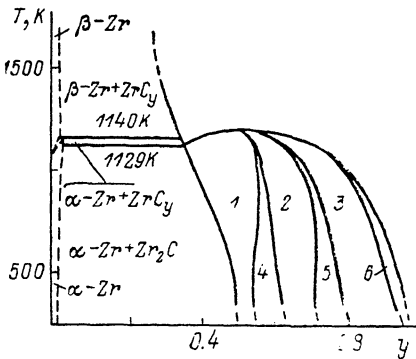


Рис. 2 Низкотемпературная часть равновесной фазовой диаграммы системы $Zr-C$, в которой наблюдается упорядочение нестехиометрического карбида циркония ZrC_y : Zr_2C (1), Zr_3C_2 (2), Zr_6C_5 (3), $Zr_2C + Zr_3C_2$ (4), $Zr_3C_2 + Zr_6C_5$ (5), $Zr_6C_5 + ZrC_y$ (6).

лической подрешетки нестехиометрического соединения [3]; наконец, в системе $M-X$ могут существовать другие соединения. Например, переходные металлы пятой группы образуют с углеродом и азотом не только карбиды и нитриды MX_y со структурой $B1$, но и соединения M_2X_y с гексагональной структурой. В связи с этим при построении фазовых диаграмм реальных нестехиометрических соединений необходимо дополнительно рассчитывать равновесия с металлом M или соединением M_2X_y . В литературе имеются также ограниченные сведения о возможных в системах $V-C$, $Nb-C$ и $Ta-C$ метастабильных ζ -фазах Брауэра примерного состава $\sim M_3C_2$, однако за последние двадцать лет экспериментальных подтверждений существования таких фаз не получено, о их структуре ничего не известно. Предполагаемые ζ -фазы Брауэра могут возникать только как неравновесные, поэтому при расчете равновесного упорядочения в системах $Nb-C$ и $Ta-C$ они не учитывались.

Равновесие между металлом и упорядоченной фазой $M_{2t}X_{2t-1}$ описывается выражением

$$F_M(T) = F_0(T) - y^2 F_2(T) + (a/4t^2) \eta_{\text{пар}}^2 F_2(T) + (k_B T/2t) [\ln(1-n_1) + (2t-1) \ln(1-n_2)]|_{\eta=\eta_{\text{пар}}} \quad (17)$$

Фазовую границу, разделяющую область гомогенности упорядоченной фазы $M_{2t}X_{2t-1}$ и двухфазную область $(M_2X \text{ (соед.)}) + M_{2t}X_{2t-1}$, можно найти по уравнению

$$0.5 F_{M,X \text{ (соч.)}}(T) = F_0(T) + 0.5 F_1(T) + y(1-y)F_2(T) + (a/4t^2)\eta_{\text{равн}}^2 F_2(T) + \\ + (k_B T/4t) \{ \ln[n_1(1-n_1)] + (2t-1) \ln[n_2(1-n_2)] \} |_{\tau=\tau_{\text{равн}}} \quad (18)$$

Легко видеть, что при переходе в неупорядоченное состояние, когда $\eta_{\text{равн}}=0$, уравнения (17), (18) описывают положение нижней границы области гомогенности неупорядоченного соединения MX_y . Иначе говоря, эти уравнения позволяют рассчитывать равновесие с нестехиометрическим соединением MX_y , которое может находиться в состоянии с любой степенью дальнего порядка от η_{max} до нуля.

Уравнения (12), (13), (17) и (18), полученные в рамках метода функционала параметров порядка, позволяют рассчитать равновесные фазовые диаграммы реальных упорядочивающихся нестехиометрических соединений. В качестве примера рассмотрим фазовые диаграммы систем $Zr-C$, $Nb-C$ и $Ta-C$, представляющие интерес для атомной энергетики.

В системе $Zr-C$ существует только одно соединение (имеющий широкую область гомогенности нестехиометрический карбид ZrC_y со структурой $B1$, на основе которого происходит упорядочение), поэтому ее фазовая диаграмма (рис. 2) наиболее близка к фазовой диаграмме соединения MX_y с неограниченным замещением неметаллических атомов X структурными вакансиями (рис. 1). Согласно расчету, в системе $Zr-C$ в условиях термодинамического равновесия в разных концентрационных интервалах образуются упорядоченные фазы Zr_2C , Zr_3C_2 и Zr_6C_5 . Экспериментально в карбиде циркония ZrC_y вблизи нижней границы области гомогенности наблюдались кубическая ($Fd3m$) и тригональная ($R\bar{3}m$) упорядоченные фазы [¹⁰⁻¹²], которые можно отождествить со сверхструктурой Zr_2C . Для карбида $ZrC_{0.63}$ температура перехода в кубическую ($Fd3m$) упорядоченную фазу, согласно [¹¹], составляет 1170 К, что хорошо соответствует рассчитанной фазовой диаграмме (рис. 2). Ромбическая сверхструктура Zr_3C_2 по своим характеристикам очень близка к сверхструктуре типа M_8X_5 , существование которой предполагалось возможным в системах $Ti-C$ и $Zr-C$ [¹²]; однако термодинамически сверхструктура типа M_3X_4 предпочтительнее, чем M_8X_5 . В недавно появившейся публикации [¹³] автор отказался от ранее высказываемого им мнения [¹²] о наличии сверхструктуры типа M_8X_5 в системе $Ti-C$, которая подобна системе $Zr-C$. С учетом этого и полученных теоретических результатов можно полагать, что в системе $Zr-C$ упорядоченная фаза, предположительно относимая к типу M_8X_5 , на самом деле является сверхструктурой Zr_3C_2 . Для выяснения этого, а также обнаружения предсказываемой расчетом сверхструктуры Zr_6C_5 необходимо проведение тщательных структурных исследований упорядочения в системе $Zr-C$.

В системе $Nb-C$ наряду с кубическим карбидом NbC_y с широкой областью гомогенности существует гексагональный низший карбид $\beta-Nb_2C$ с узкой областью гомогенности, наличием которой при расчете фазовой диаграммы пренебрегали. Рассчитанная часть фазовой диаграммы системы $Nb-C$, в которой наблюдается упорядочение кубического карбида NbC_y , показана на рис. 3. Как видно из этого рисунка, при температуре ниже 900 К в условиях термодинамического равновесия существует упорядоченная фаза Nb_3C_2 с очень узкой областью гомогенности ($0.67 < y < 0.71$ при 400 К). Экспериментально такая фаза не наблюдалась. Задфиксировать эту низкотемпературную упорядоченную фазу весьма сложно, так как при $T < 900$ К диффузионная подвижность атомов мала и для достижения термодинамически равновесного структурного состояния требуется длительный отжиг образцов NbC_y ; кроме того, нестехиометрический карбид NbC_y по своему составу должен точно соответствовать концентрационной области существования сверхструктуры Nb_3C_2 .

Основной упорядоченной фазой карбида ниobia является Nb_6C_5 , образующаяся в результате перехода беспорядок—порядок при $T <$

< 1594 К и обладающая достаточно широкой областью существования: при $T=800$ К упорядоченная фаза Nb_6C_5 имеет область гомогенности $0.80 < y < 0.88$, что хорошо согласуется с экспериментальными данными [14-16]. При высоких температурах рассчитанная область существования сверхструктур Nb_6C_5 несколько шире, чем по экспериментальным данным [3, 14-16]. Это связано с тем, что выше температуры перехода порядок—беспорядок в нестехиометрическом карбиде имеется некоторый ближний порядок, который в расчете не учитывался. Нужно отметить, что дальнейшее развитие рассматриваемого метода возможно именно путем решения весьма сложной задачи одновременного учета ближнего и дальнего порядка при записи свободной энергии упорядочивающегося кристалла.

Упорядочение в нестехиометрическом карбиде тантала TaC_y экспериментально изучено слабо, поэтому теоретический расчет фазовой диаграммы системы Та—С представляет значительный интерес. В этой системе помимо

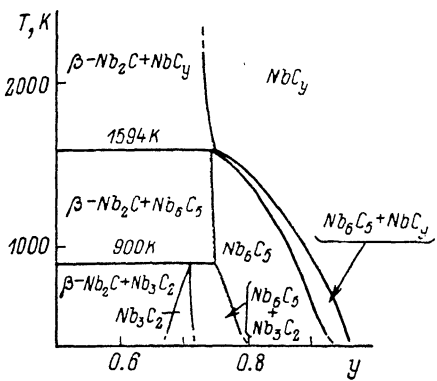


Рис. 3. Часть равновесной фазовой диаграммы системы Nb—С, в которой наблюдается упорядочение нестехиометрического карбида ниobia NbC_y .

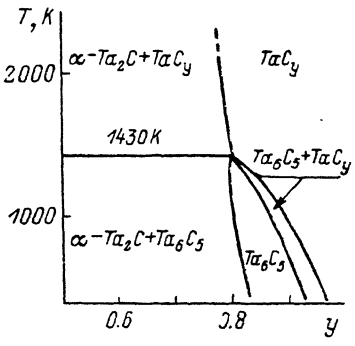


Рис. 4. Положение области существования равновесной упорядоченной фазы Ta_6C_5 на равновесной фазовой диаграмме системы Та—С.

обладающего широкой областью гомогенности кубического карбида TaC_y , существует гексагональный низший карбид $\alpha\text{-Ta}_2\text{C}$ с узкой областью гомогенности (наличие ее при расчете фазовой диаграммы не учитывалось). На рис. 4 показана рассчитанная часть фазовой диаграммы системы Та—С, в которой возможно упорядочение кубического карбида TaC_y . Как видно из рис. 4, единственной упорядоченной фазой карбида тантала является Ta_6C_5 . Она имеет более узкую область гомогенности, чем аналогичная фаза Nb_6C_5 . Ранее [17] предположение об образовании в TaC_y сверхструктуры типа M_6C_5 было высказано при изучении методом электронной дифракции отожженного карбида $\text{TaC}_{0.83}$. Нейтронографическое исследование [18] показало, что в нестехиометрическом карбиде TaC_y в результате длительного медленного отжига от 1600 до 750 К образуется несоразмерная упорядоченная фаза, близкая к известным сверхструктурам типа M_6C_5 . Таким образом, экспериментальные и теоретические результаты по изучению упорядочения в карбиде тантала хорошо согласуются.

В целом полученные результаты свидетельствуют о применимости метода функционала параметров порядка для расчета равновесных фазовых диаграмм как модельных, так и реальных упорядочивающихся систем. Применение МФПП позволило впервые рассчитать фазовые диаграммы упорядочивающихся нестехиометрических карбидов, установить типы возможных упорядоченных фаз этих карбидов и равновесные температурно-концентрационные области их существования. В результате расчета показана невозможность образования кубических сверхструктур типа M_8X_7 и M_4X_3 в нестехиометрических соединениях внедрения MX_y (за

исключением VC_y , где возможно образование сверхструктуры V_8C_7).
МФПП одинаково применим для расчета переходов беспорядок—порядок как первого, так и второго рода.

Список литературы

- [1] Gusev A. I., Rempel A. A. // Phys. St. Sol. (b). 1985. V. 131. N 1. P. 43—51.
- [2] Gusev A. I., Rempel A. A. // Phys. St. Sol. (b). 1987. V. 140. N 2. P. 335—346.
- [3] Гусев А. И.. Ремпель А. А. Структурные фазовые переходы в нестехиометрических соединениях. М.: Наука, 1988. 308 с.
- [4] Gusev A. I. // Phil. Mag. 1989. V. 60. N 3. P. 307—324.
- [5] Липатников В. Н., Ремпель А. А., Гусев А. И. // Журн. физ. химии. 1988. Т. 62. № 3. С. 589—593.
- [6] Хачатуян А. Г. Теория фазовых превращений и структура твердых растворов. М.: Наука, 1974. 384 с.
- [7] Parthe E., Yvon K. // Acta Crystallogr. B. 1970. V. 26. N 2. P. 153—163.
- [8] Gusev A. I., Rempel A. A. // J. Phys. C: Sol. St. Phys. 1987. V. 20. N 31. P. 5011—5025.
- [9] Ремпель А. А., Гусев А. И. // ФТТ. 1990. Т. 32. № 1. С. 16—23.
- [10] Goretzki H. // Phys. St. Sol. 1967. V. 20. N 2. P. K141—KL43.
- [11] Каримов И., Эм Б. Т., Хидиров И., Латергаус И. С. // Изв. АН УзбССР, сер. физ.-мат. наук. 1979. № 4. С. 81—83.
- [12] Хаенко Б. В. // Изв. АН СССР, неорг. матер. 1979. Т. 15. № 11. С. 1952—1960.
- [13] Хаенко Б. В., Куколь В. В. // Кристаллография. 1989. Т. 34. № 6. С. 1513—1517.
- [14] Billingham J., Bell P. S., Lewis M. H. // Acta Crystallogr. A. 1972. V. 28. N 6. P. 602—606.
- [15] Гусев А. И., Ремпель А. А. // ФТТ. 1984. Т. 26. № 12. С. 3622—3627.
- [16] Landesman J. P., Christensen A. N., de Novion C. H., Lorenzelli N., Convert P. // J. Phys. C: Sol. St. Phys. 1985. V. 18. N 4. P. 809—823.
- [17] Venables J. D., Meyerhoff M. H. // Solid State Chemistry (Proc. 5th Materials Research Symposium. N. Y., 1972). NBS Special Publication 364. P. 583—587.
- [18] Ремпель А. А., Липатников В. Н., Гусев А. И. // ДАН СССР. 1990. Т. 310. № 4. С. 878—883.

Институт химии УрО АН СССР
Свердловск

Поступило в Редакцию
18 января 1990 г.
В окончательной редакции
12 апреля 1990 г.